



AKDENİZ BENEKLİ ATEŞİ

Dr. Figen KULOĞLU
Trakya Üniversitesi Tıp Fakültesi
Enfeksiyon Hastalıkları AD.
EDİRNE

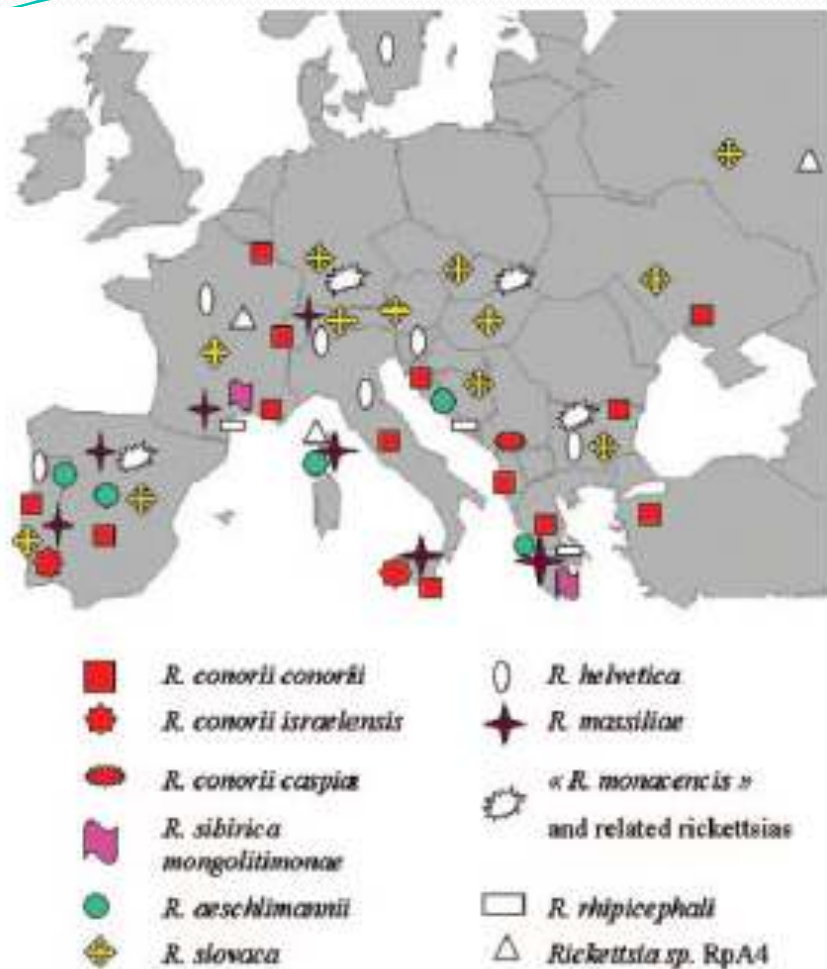


FIG. 10. Tick-borne rickettsiae in Europe. Colored symbols indicate pathogenic rickettsiae. White symbols indicate rickettsiae of possible pathogenicity and rickettsiae of unknown pathogenicity.

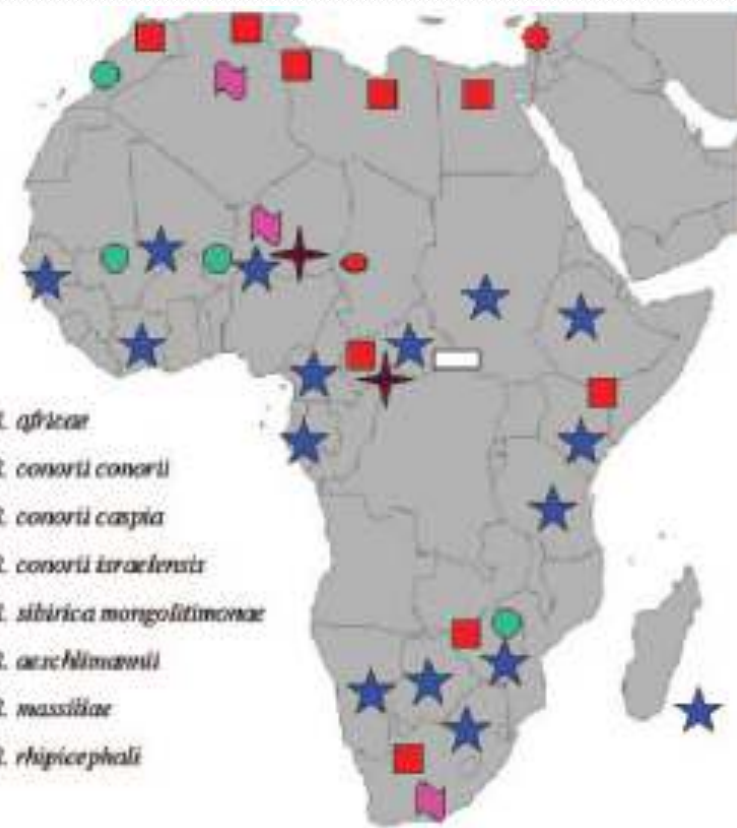


FIG. 7. Tick-borne rickettsiae in Africa. Colored symbols indicate pathogenic rickettsiae. White symbols indicate rickettsiae of possible pathogenicity and rickettsiae of unknown pathogenicity.

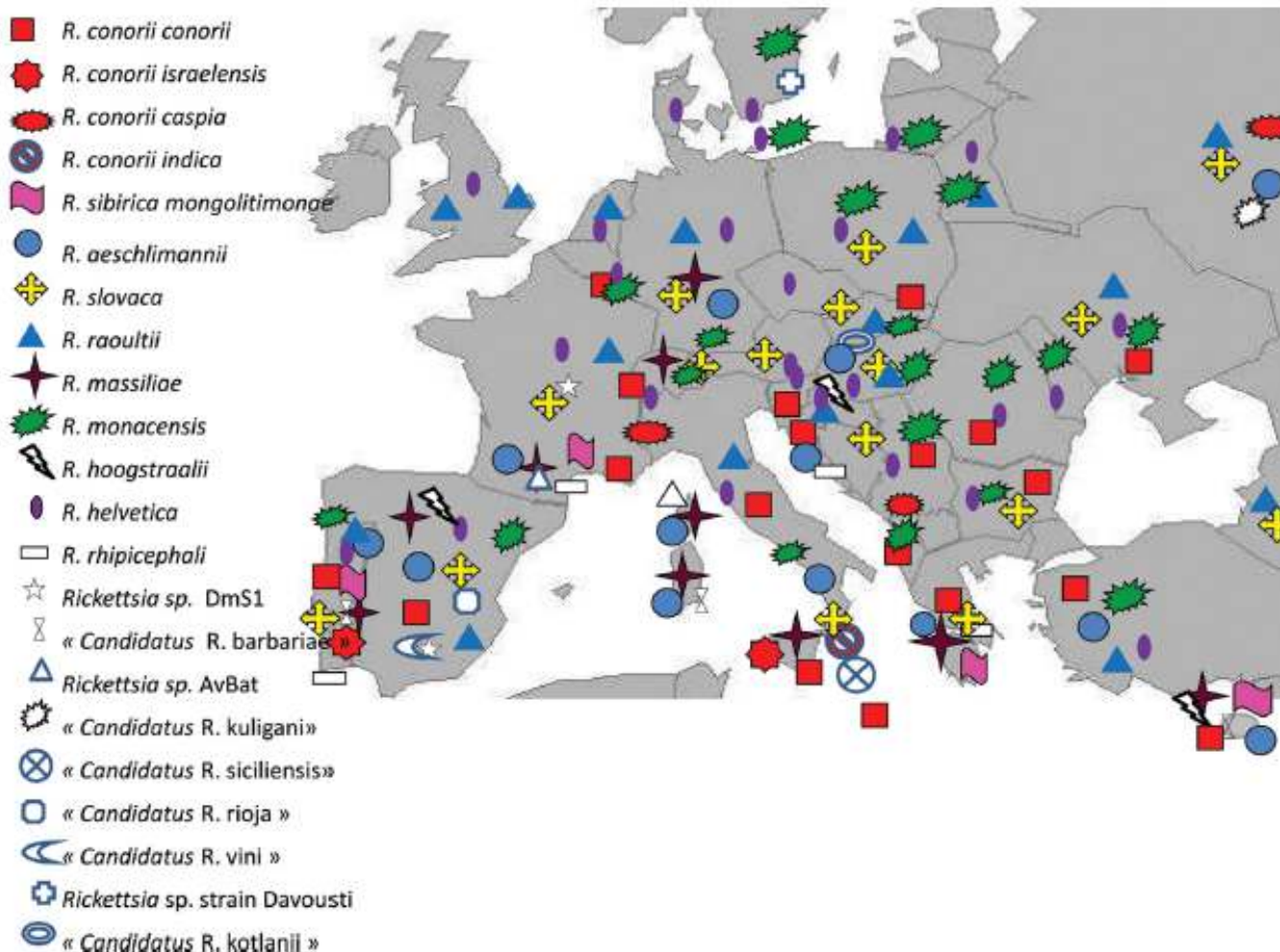


FIG 7 Tick-borne rickettsiae in Europe. Colored symbols indicate pathogenic rickettsiae. White symbols indicate rickettsiae of possible pathogenicity and rickettsiae of unknown pathogenicity. (Adapted from reference 2.)

Rickettsiaceae Ailesi

- Riketsiyalar, zorunlu hücre içi paraziti
- Doğada memeli rezervuarlar ve artropod vektörler arasında bir döngüde yaşamalarını sürdürür
- Küçük pleomorfik ($0.3\text{-}0.5 \times 1\text{-}2 \mu\text{m}$) kokobasiller
- Giemsa, Gimenez veya akridin oranj



Rickettsiaceae Ailesi

- Antijenik benzerlikleri ve hücre içi büyümeye özelliklerine göre:
 - Benekli ateş grubu
 - Tifus grubu
- Patogenez: küçük arter, ven ve kapillerlerin endotelinde organizmaların proliferasyonu ile oluşan vaskülit

Riketsiya hastalıklarının etyolojisi, epidemiyolojisi ve ekolojisi

Etken organizma	Hastalık	Coğrafi dağılım	İnsanlara bulaşma şekli	Doğal döngüsü
Benekli ateş grubu				
<i>R. rickettsii</i>	Kayalık Dağlar benekli ateşi	Batı Yarıküre, ABD	Kene ısırması	Kenelerde transovarial ve kemirici-kene döngüsü
<i>R. akari</i>	Riketsiya çiçeği	ABD, Ukrayna, Hırvatistan, Kore	Akar ısırması	Akarlarda transovarial ve akar-fare döngüsü
<i>R. conorii</i>	Akdeniz benekli ateş	Güney Avrupa, Afrika, Orta Doğu	Kene ısırması	Kenelerde transovarial
<i>R. africae</i>	Afrika kene ısırması ateşi	Sahra-altı Afrika, Karayıp Adaları	Kene ısırması	Kenelerde transovarial
<i>R. parkeri</i>	Amerika kene ısırması ateşi	Kuzey ve Güney Amerika	Kene ısırması	Kenelerde transovarial
<i>R. sibirica</i>	Kuzey Asya kene tifusu	Asya, Avrupa, Afrika	Kene ısırması	Kenelerde transovarial
<i>R. japonica</i>	Japon benekli ateşi	Japonya	Kene ısırması	Keneler
<i>R. australis</i>	Queensland kene tifüsü	Avustralya	Kene ısırması	Keneler
<i>R. honei</i>	Flinders Adası benekli ateşi	Avustralya, Tayland	Kene ısırması	Kenelerde transovarial
<i>R. slovaca</i>	Kene ile ilişkili lenfadenopati	Avrupa, Asya	Kene ısırması	Bilinmiyor
<i>R. felis</i>	Pire ile ilişkili benekli ateş	Kuzey ve Güney Amerika, Avrupa, Afrika	Bilinmiyor	Kedi pirelerinde transovarial
Tifüs grubu				
<i>R. prowazekii</i>	Epidemik tifüs (Primer bitle bulaşan tifüs)	Tüm dünyada	Enfekte bit dışkısının derideki sıyırlarla veya mukozalarla teması ile	İnsan-bit döngüsü
<i>R. prowazekii</i>	Brill-Zinsser hastalığı	Tüm dünyada	Epidemik tifüsün ilk atağından yıllar sonra nüksetmesi	
<i>R. typhi</i>	Fare tifüsü (Endemik tifüs)	Tüm dünyada	Enfekte bit dışkısının derideki sıyırlarla veya mukozalarla teması ile	Fare-pire döngüsü
Çalılık tifüsü grubu				
<i>O. tsutsugamushi</i>	Çalılık tifüsü	Japonya, Doğu Asya, Kuzey Avustralya, Doğu ve Güney-doğu Pasifik	Akar ısırması	Akarlarda transovarial

Benekli Ateş Grubu Riketsiyozlar

- Kene / akarlarla buluşan zoonotik enf.
- Mevsimsel dağılımı kene aktivitesine paralel
- Olguların çoğu ilkbahar sonu ve yaz aylarında
- Kene hem vektör hem ana rezervuar
- Kenelerde transstadial ve transovarial aktarılır
- Kene ısırığı hikayesinin olmamasının nedeni immatür larva ve nimflerle buluşma



Akdeniz Benekli Ateşi

- Genellikle ilkbahar, yaz mevsiminde
- Ateş, baş ağrısı, döküntü ± eskar
- Köpek kenesi teması/ısırması
- Kırsal alanda yaşam, mesleki temas

Makulopapüler Döküntü



Makulopapüler Döküntü



Ayak Tabanında Döküntü



Eskar ya da “Tache noir”



Eskar ya da “Tache noir”



Eskar ya da “Tache noir”



Akdeniz Benekli Ateşi

- Kene, koparılırken parmaklar arasında parçalanırsa, infekte kene hemolenfine maruz kalan kişi infekte olabilir



Mikrobiyolojik Tanı

- Serolojik tanı
- PZR
- Riketsiya izolasyonu
- İmmunolojik tanı

Serolojik Tanı

- Weil-Felix *Proteus* aglütinasyonu
 - *P. vulgaris OX2*, Benekli Ateş Grubu R.
 - *P. vulgaris OX19*, Tifüs Grubu ve Kayalık Dağlar Benekli Ateşi
 - *P. mirabilis OXK*, *Orientia tsutsugamushi*
 - ≥ 4 kat titre artışı veya
 - $\geq 1/320$ tek bir titrede pozitiflik
 - Brill-Zinsser hastalığında antikor saptanmaz

Mikroimmunfloresan testi (IFA)

- IFA testi aşağıdaki koşullarda pozitif kabul edilir:
 - (i) Serokonversiyon saptanırsa
 - (ii) Akut ve konvelesan faz serum örneklerinde ≥ 4 kat antikor artışı saptanırsa
 - (iii) IgG antikorları $\geq 1:128$, IgM antikorları $\geq 1:64$ dilüsyonda pozitif saptanırsa
 - Benekli ateş grubu riketsiyalar arasında ayırım sağlamaz

PZR

- 16S rRNA geni
- 17 kDa protein kodlayan gen
- Sitrat sentaz kodlayan gen
- OmpA ve OmpB genleri (outer membrane protein)
- **“Tache noir” veya makülopatüler döküntüden cilt biyopsi örnekleri**
- **Artropod dokuları**
- **Antibiyotik tedavisi başlamadan ve antikorlar saptanabilir düzeye gelmeden önce denenmeli**

Riketsiya izolasyonu

- Hücre kültürü:
 - İnsan embriyonik akciğer fibroblastları ile birlikte “centrifugation-shell vial” tekniği
 - Vero ve L929, HEL ve MRC5
- Hayvan inokülasyonu
 - Kobaylar
- Embriyonlu yumurta
- Cilt biyopsisinden (antibiyotik verilmeden)
- Artropod örneklerinden izole edilebilir
- Heparinli kanın “buffy coat” tabakasından
- Defibrine tam kandan, plasmadan

1997-2002

- 1997-2002 yılları arasında 30 olgu
- Her yıl Nisan-Eylül döneminde
- Edirne, Kırklareli, Tekirdağ
- Anı başlayan yüksek ateş, başağrısı, miyalji, artralji
- Makülopopüler döküntü (avuç içi ve ayak tabanını tutan)
- Kenenin ısırdığı yerde eskar (“tache noire”)
- Beta-laktam antibiyotikler kullanmış
- **Esgin H, Akata F.** Bilateral multiple retinal hyperfluorescent dots in a presumed *Rickettsia conorii* infection. *Retina* 2001; 21(5): 535-7.

Serolojik Tanı

- 1997-2000 yıllarında
- Weil-Felix *Proteus* aglütinasyon testi ile
- 2001-2002
- **IFA IgG** (*Rickettsia conorii*- Spot IFA, BioMerieux)

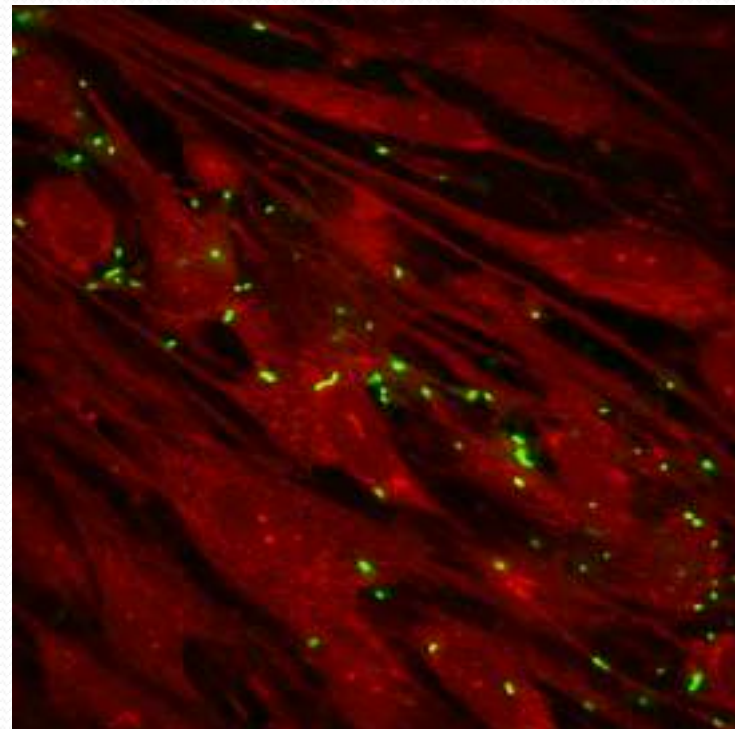
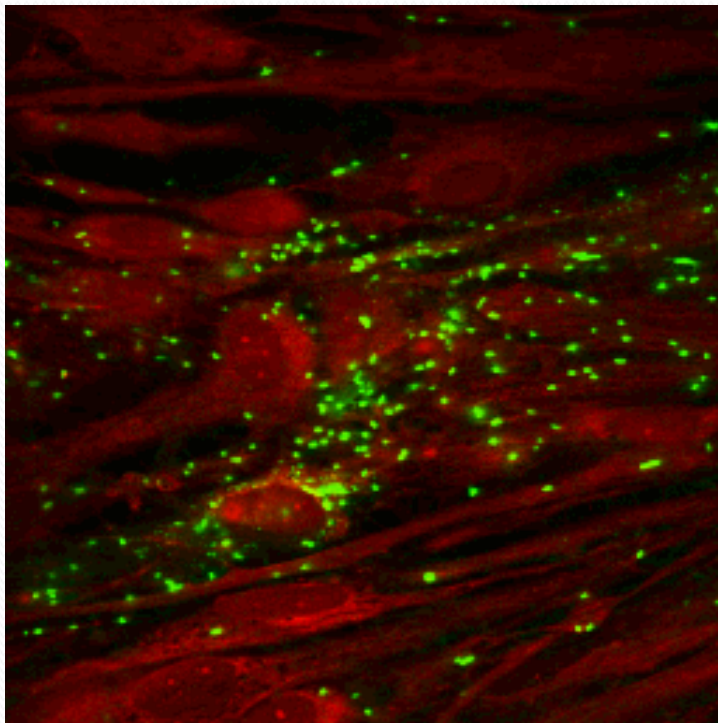
2003

- Temmuz-Ağustos **11 hasta**
- Edirne 7, Kırklareli 3, Tekirdağ 1 hasta
- Yaş ort. 54,7 yıl, 5 kadın, 6 erkek hasta
- Yüksek ateş ($39-40^{\circ}\text{C}$)
- Ort. 3.8 gün sonra makülopatüler döküntü
- 9 hastada avuç içi/ayak tabanında döküntü
- 4 olguda eskar (“tache noir”)

2003

- Deri biyopsileri- “shell vial” yöntemi ile hücre kültürü
- HEL h.lerinin Gimenez boyaması= **3 hastanın
örneğinde bazik fuksini tutan kısa kokobasiller**
- Lamelin, *R. conorii* ‘ye yönelik poliklonal antikorlar ile IFA testi= kuvvetli pozitif
- PCR ile deri biyopsilerinin DNA’sında *ompA* ve sitrat sentaz (*gltA*) genleri çoğaltıldı= **10 hastada pozitif**

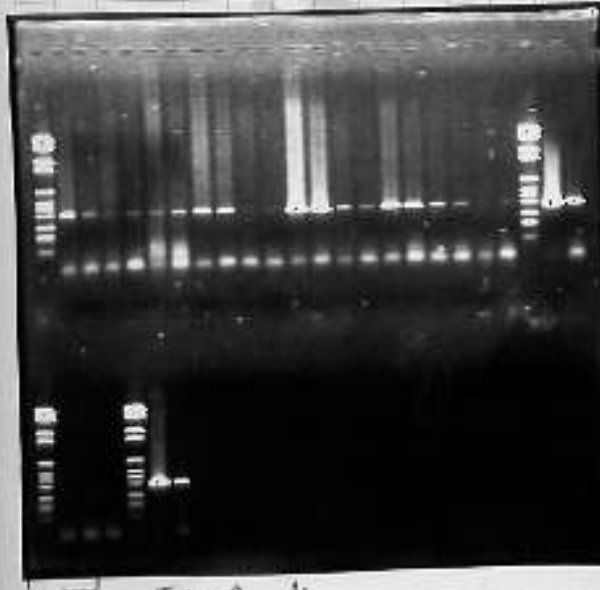
IFA



NOM	NUMERO	PCR	NATURE	Cult	DATE	GENE	PCR
CEZMI/TURQUIE Eris	25516		BCU		20/10/03	CS ompA	(+)
ERDAL/TURQUIE Yumat	25517		BCU		20/10/03	CS ompA	(+)
NAILE/TURQUIE Yeriederiz	25518TN		BCU	(+)	20/10/03	CS ompA	(+)
GILIMSER/TURQUIE Akman	25519TN	(+)	BCU	-	20/10/03	CS ompA	(+)
SEHRIBAR/TURQUIE Gilingir	25520		BCU		20/10/03	CS ompA	(+)
HASINE/TURQUIE Altay	25521TN	(+)	BCU	-	20/10/03	CS ompA	(+)
SADIK/TURQUIE Hayrik	25522		BCU		20/10/03	CS ompA	(+)
MUKERREM/TURQUIE Baker	25523TN	(+)	BCU	(+)	20/10/03	CS ompA	(+)
RESMIGE/TURQUIE Karakas	25524		BCU	(+)	20/10/03	CS ompA	(+)
ARIF/TURQUIE Ugurtar	25525		BCU		20/10/03	CS ompA	(+)

TN = tache noire

T + - 4

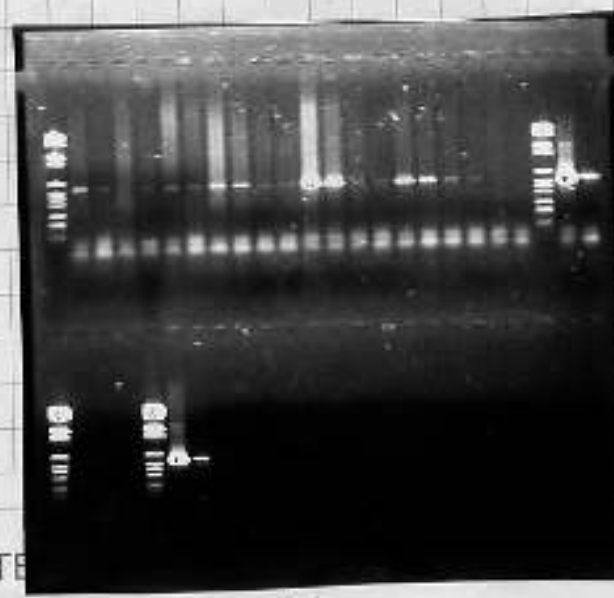


CS

Epp

APG

TE



ompA

opp

ApGm

Adam

2003

- 10 hastanın deri biyopsilerinden elde edilen *ompA* and *gltA* genlerinin ve
- 3 “shell vial” izolatının DNA dizi analizi
- ***Rickettsia conorii, strain Seven (Malish)***
- *ompA* (Genbank accession number U43806)
- *gltA* (Genbank accession number U59730) genleri ile 100% benzer

ARTICLE

F. Kuleoglu · J. M. Rolain · P. E. Fournier · F. Akata ·
M. Tugrul · D. Raoult

First isolation of *Rickettsia conorii* from humans in the Trakya (European) region of Turkey

Eskar ya da “Tache noir”



Eskar ya da “Tache noir”



Prospective Evaluation of Rickettsioses in the Trakya (European) Region of Turkey and Atypic Presentations of *Rickettsia Conorii*

FIGEN KULOGLU,^{a,b} JEAN MARC ROLAIN,^b BAYRAM AYDOSLU,^a
FILIZ AKATA,^a MURAT TUGRUL,^a AND DIDIER RAOULT^b

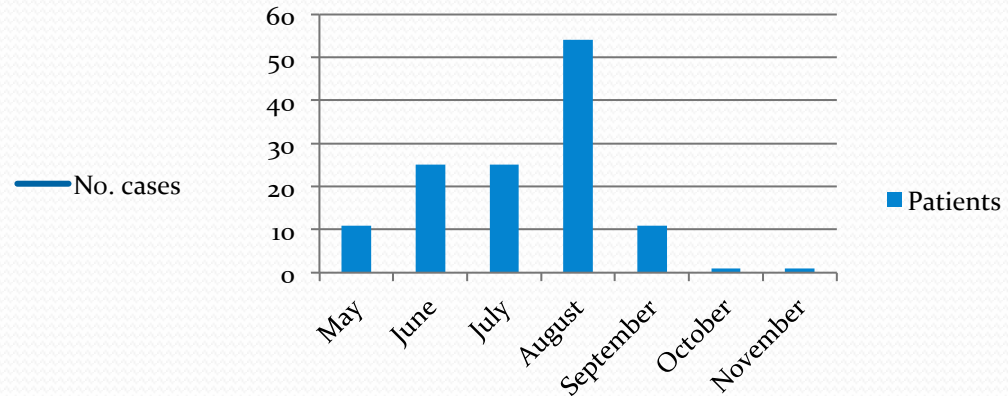
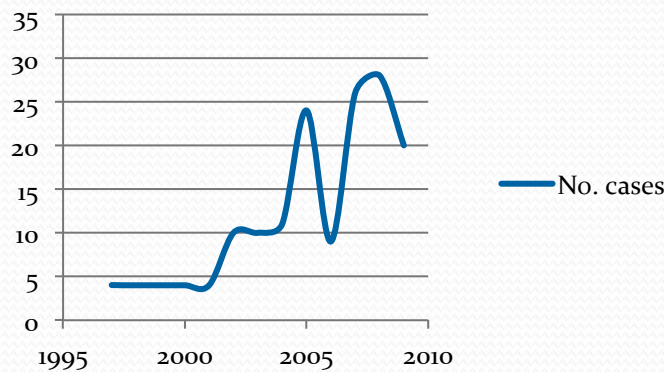
^a*Trakya Üniversitesi Tıp Fakültesi, Klinik Bakteriyoloji ve Infeksiyon
Hastalıkları AD, 22030, Edirne, Turkey*

^b*Unité des rickettsies, IFR48, CNRS UMR 6020, Faculté de médecine, Université
de la Méditerranée, 13385 Marseille Cedex 05, France*

**Ann. N.Y. Acad. Sci. 1078: 173–175 (2006). © 2006 New York Academy of Sciences.
doi: 10.1196/annals.1374.031**

ABA 2003-2009

- 128 hasta (62 erkek, 66 kadın)
- Yaş ortalaması 52.7 ± 18.4 (12-88)
- 11 hasta Mayıs, **25 Haziran, 25 Temmuz,**
- **54 Ağustos, 11 Eylül, 1 Ekim, 1 Kasım**



ABA 2003-2009

- Bütün hastalarda yüksek ateş
- 122 hastada (**95.3%**) makülopatüler döküntü
- 108 hastada (**84.4%**) avuç içi ve ayak tabanında döküntü
- 90 hastada (**%70.3**) eskar
- 75 hasta (**%58.6**) kene/köpek teması

ABA 2003-2009

- Yüksek ateş ile makülopatüler döküntü arası süre ortalama 3.41 ± 1.98 gün [12 saat - 10 gün]
- Yüksek ateşle sağlık kuruluşlarına başvuran hastaların %74.4'üne antibiyotik başlanmış
 - beta laktam-beta laktamaz inhibitörü veya sefalosporin

ABA 2003-2009

- 14 hastanın (%10.9) klinik tablosu ciddi
 - 5 hastada pnömoni,
 - 4 hastada meningoensefalit,
 - 1 hastada meningoensefalit ve pnömoni,
 - 3 hastada çoklu organ yetmezliği,
 - 1 hastada pnömoni ve çoklu organ yetmezliği
- Çoklu organ yetmezliği ile gelen hastalardan 2'si (%1.6) kaybedildi
 - 87 yaşında bir erkek hasta ve 77 yaşında bir kadın hasta

ABA klinik ve laboratuvar özellikler

(n=128)	%		%
Ateş	100	Lokositoz >10 000/mm ³	32
Makülopapüler döküntü	95.3	Lokopeni < 5 000/mm ³	12.7
Avuç içi/ayak tabanında döküntü	84.4	Trombosit <150 000/mm ³	52.5
Peteşiyel döküntü	10.6	ALT/AST > 50 IU/ml	72
Eskar	70.3	Anemi (Erkek Hb<13)	23
Baş ağrısı	66.9	Anemi (Kadın Hb<12)	40.8
Miyalji	60.3	Azotemi	28
Konjonktivit	19.8	CRP pozitifliği > 10 mg/lt	98
Stupor	5.8		
Meningismus	4.9		
Hepatomegali	11.6		
Splenomegali	5.8		
Ral	9		
Dispne	4		

ABA 2003-2009

- Klinik belirti ve bulguları ile ABA düşünülen hastalara **7-14 gün doksisiklin**
- Doksisiklini tolere edemeyen 2 olguda kinolon
- Yüksek ateş doksisiklin sonrası ortalama 2.5 ± 1.4 gün [1- 8 gün] sonra normale döndü



Ticks and Tick-borne Diseases

journal homepage: www.elsevier.com/locate/ttbdis



Mediterranean spotted fever in the Trakya region of Turkey

Figen Kuloglu^{a,*}, Jean Marc Rolain^b, Filiz Akata^a, Cafer Eroglu^c, Aygul Dogan Celik^a, Philippe Parola^b

- Aim: To evaluate the cases with confirmed diagnosis of MSF from 2003 to 2009 in the Trakya region of Turkey
- There were 128 patients with confirmed MSF diagnosis
- Before doxycycline treatment, skin biopsy specimens, preferably from the eschar or from the maculopapular rash, were obtained for DNA extraction

Mediterranean spotted fever in the Trakya region of Turkey

- IFA was performed in acute and convalescent sera
 - Seroconversion or ≥ 4 fold rise in titre in 97 (**77%**) patients
 - A single high titre in 16 (12.7%) patients
- PCR reaction using primers suitable for ompA and citrate synthase (gltA) genes was performed
- 77 (**72.6%**) of 106 biopsy samples showed positive results
 - 58 (**73%**) of 79 biopsy specimens from the **eschar**
 - 19 (**70%**) of 27 specimens from the **maculopapular rash**
 - **No significant difference** was found between the rate of positive skin biopsies taken from the eschar and the maculopapular rash

Mediterranean spotted fever in the Trakya region of Turkey

- 14 (**10.9%**) patients presented with a severe course of disease
 - 5 had pneumonia, 4 had meningoencephalitis,
 - 1 had both pneumonia and meningoencephalitis,
 - 4 had multiple organ dysfunction,
- We had 3 patients in whom a differentiation between CCHF and SFG rickettsiosis could not be made
- Later these 3 cases were diagnosed as SFG rickettsioses

Mediterranean spotted fever in the Trakya region of Turkey

- *R. conorii* subsp. *conorii* (type strain: Malish, ATCC VR-613)
- MSF is a potentially severe and even fatal disease
- While IFA allows for retrospective diagnosis in MSF
- Advanced molecular techniques provide the rapid detection of rickettsia in all skin samples, including eschar and maculopapular rash

Kaynaklar

1. Esgin H, Akata F. Bilateral multiple retinal hyperfluorescent dots in a presumed *Rickettsia conorii* infection. **Retina** 2001; 21(5): 535-7.
2. Kuloglu F, Akata F, Tansel O, Gurcan S, Otkun M, Tugrul M. Son altı yılda Trakya Bölgesi'ndeki benekli ateş grubu riketsiyoz olgularının özellikleri. **KLİMİK Dergisi** 2004;17(2):87-90.
3. Kuloglu, F, F. Akata, Ö. Tansel, Ş. Gürcan, N. Şakru, M. Otkun, M. Tuğrul, "Serologically confirmed cases of Mediterranean spotted fever in the Trakya Region of Turkey," **Türkiye Parazitoloji Dergisi (Acta Parasitologica Turcica)**, 2004; 28 (3), 167-170.
4. Kuloglu F, Rolain JM, Fournier PE, Akata F, Tugrul M, Raoult D. First isolation of *Rickettsia conorii* from human in the Trakya Region (European Part) of Turkey. **Eur J Clin Microbiol Infect Dis.** 2004; 23: 609-14.
5. Kuloglu F, Rolain JM, Aydoslu B, Akata F, Tugrul M, Raoult D. Prospective evaluation of rickettsioses in the Trakya (European) region of Turkey and atypic presentations of *Rickettsia conorii*. **Ann NY Acad Sci.** 2006; 1078:173-5.
6. Kuloglu F, Rolain JM, Celik AD, Akata F, Tugrul M, Raoult D. Prospective evaluation of rickettsioses in the Trakya (European) Region of Turkey in 2005. **Clin Microbiol Infect.** 2009; 15 (Suppl 2): 220-1.
7. Oztoprak, N. , G. Celebi, H. Aydemir, N. Piskin, S. Bektas, R. Koca, F. Kuloglu, "Mediterranean spotted fever due to contact with dog-tick", **Mikrobiyoloji Bulteni**, 42(4): 701-706 (2008).
8. Engin, DÖ., F. Kuloglu, AŞ. İnan, N. Ceran, Ş. Çakar, P. Göktaş, "Akdeniz Benekli Ateşi: İki olgu Sunumu", **Türkiye Klinikleri Tıp Bilimleri Dergisi**, 2011 ; 31 (06 : 1554-1558 .
9. Kuloglu F, Rolain JM, Akata F, et al. **Mediterranean spotted fever in the Trakya region of Turkey.** TICKS AND TICK-BORNE DISEASES 2012; 3 (5-6): 297-303.



Trakya Üniversitesi Edirne

